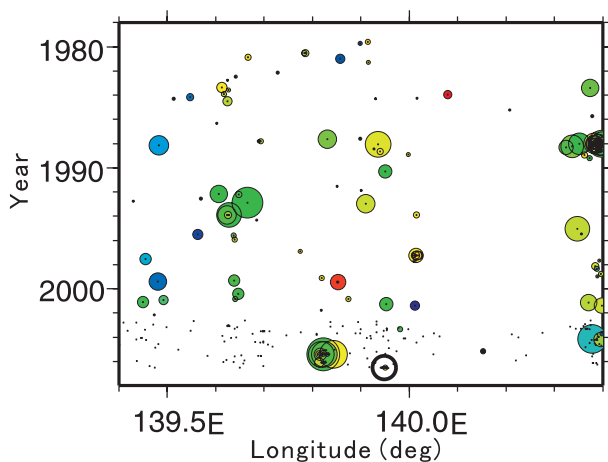


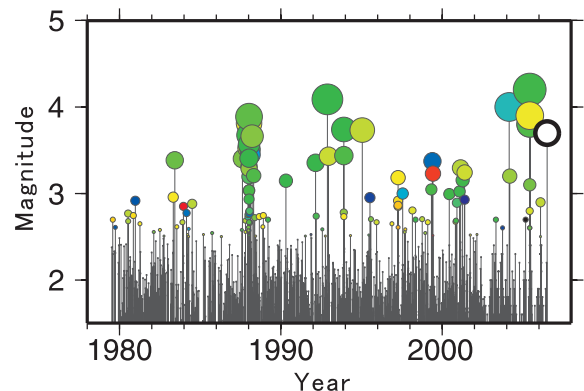
第 1 図 (上) 2006 年 7 月 9 日東京湾の地震の震源域周辺の震源分布 ( $M \geq 1.5$ ;  $Z \leq 40\text{km}$ )。Hi-net・KT-net によって推定された主要な地震のメカニズム解をあわせて示す (下半球投影)。 (下) 上図の赤枠で囲まれた震源の東西断面図。地震波トモグラフィによる速度構造をあわせて示す (P 波速度偏差を表示)。また図中の破線は、Sato et al. (2005)<sup>1)</sup> のフィリピン海プレート上面の位置を示す。

Fig.1 (Top) The distributions of hypocenters in and around the Tokyo Bay ( $M \geq 1.5$ ;  $Z \leq 40\text{km}$ ). The dominant mechanisms determined by the Hi-net and the KT-net are also shown. (Bottom) The E-W cross section of hypocenters within the red box above. The background shows P-wave velocity perturbations by seismic tomography. The broken line shows the upper boundary of the Phillipine plate by Sato et al. (2005)<sup>1)</sup>.



第 2 図 第 1 図の赤枠内の地震を東西方向に投影した時空間分布図。

Fig.2 Temporal change in earthquake distributions within the red box in Fig.1.



第 3 図 第 1 図の赤枠内の地震の M-T 図。

Fig.3 M - T diagram for earthquakes shown in the red box in Fig.1.